

La vaste gamme de modèles et l'originalité du projet font du « vérin à faible course » UNIVER un choix obligatoire pour ceux qui ont besoin de vérins pneumatiques avec courses de travail réduites et dimensions compactes. Leur universalité, le choix des différents alésages le rend un produit qui répond positivement aux exigences de l'industrie.

CARACTERISTIQUES TECHNIQUES

Pression de fonctionnement: 1,5 ÷ 10 bar
 Température ambiante: - 20 ÷ +80°C
 Fluide: air filtré, avec ou sans lubrification
 Chemise en alliage d'aluminium extrudé avec anodisation interne et externe de 15 - 18 micron.
 Têtes et fonds démontables pour inspection
 Piston avec anneau magnétique permanent en plastoferrite (sur demande du Ø 16 ÷ 100)
 Vérin avec tige antirotation Ø 16 ÷ 100
 Tige traversante creuse Ø 20 ÷ 100
 Version magnétique Ø 16 ÷ 100

Détails de construction

Joint du piston en composé de nitrile résistant à l'usure permettant une utilisation avec ou sans lubrification, la forme à lèvre double assure un rattrapage automatique de l'usure.
 Tige en acier INOX AISI 303 roulé avec filet femelle, mamelon mâle sur demande.
 Coussinet en bronze pour guidage de la tige en matériau autolubrifiant.
 Butées de fin de course.
 Capteur magnétique série DH-.. (section accessoires page 2) ou capteur magnétique encastré série DF-..., voir page 2-3

Tolérance nominale sur la course

Vér. Ø	Tolérance mm
12 ÷ 25	+ 1,5/0
32 ÷ 50	+ 2/0
63 ÷ 100	+ 2,5/0

Exécutions sur demande

- Articulation arrière (pag. 64)
- Mamelon
- Vérin tandem (pag. 64)
- Unités de guidages Ø 20 ÷ 80 (section High-Tech page 47)

Tableau forces développées

On les obtient en appliquant les formules suivantes:

Effort de poussée **Effort de traction**

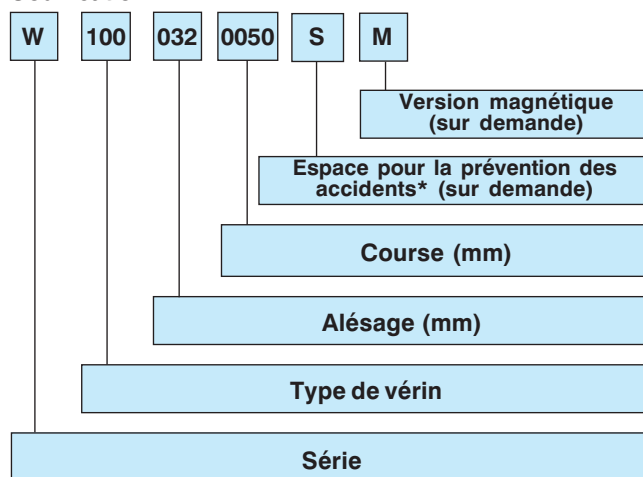
$$F_s = S \cdot p - a \qquad F_t = s \cdot p - a$$

où: p = pression d'alimentation
 S = surface de poussée (cm²)
 s = surface de traction (cm²)
 a = frottements (10%)

Vér. Ø	Tige Ø (mm)	S (cm ²)	s (cm ²)	Réaction max. des ressorts (N)
12	6	1,1	0,8	6,8
16	6	2	1,7	7,8
20	10	3,1	2,3	13,2
25	10	4,9	4,1	19,6
32	12	8	6,9	35,3
40	16	12,6	10,6	45
50	16	19,6	17,6	70,5
63	20	31,1	28	96
80	25	50,3	54,3	119,5
100	25	78,5	73,6	237,2



Codification



TYPE DE VÉRIN

- 100 D.E. double effet
- 101 D.E. double effet – tige traversante
- 110 D.E. double effet – tige antirotation*
- 111 D.E. double effet – tige traversante antirotation*
- 131 D.E. double effet – tige traversante creuse (à partir du Ø 20 mm)
- 160 S.E. simple effet – tige rentrée
- 170 S.E. simple effet – tige sortie

VERSION AVEC ARTICULATION ARRIÈRE MÂLE

- (à l'exception du Ø 12)
- 700 D.E. double effet
 - 760 S.E. simple effet – tige rentrée
 - 770 S.E. simple effet – tige sortie

ALÉSAGE

12 - 16 - 20 - 25 - 32 - 40 - 50 - 63 - 80 - 100 mm

COURSES STANDARD

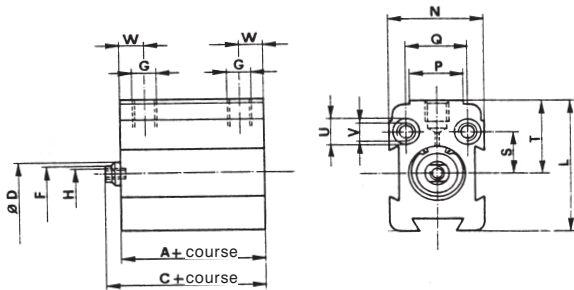
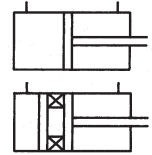
Ø12 - 25 S.E.: 5 - 10 mm
 Ø32 - 100 S.E.: 5 - 10 - 25 mm
 Ø12 - 16 D.E.: 5 - 10 - 20 - 25 - 30 - 40 - 50 mm
 Ø20 - 100 D.E.: 5 - 10 - 20 - 25 - 30 - 40 - 50 - 75 mm

* Les modèles commandés par le client sans espace pour la prévention des accidents doivent être installés par l'utilisateur tout en observant la norme EN 294 (page 61-62).

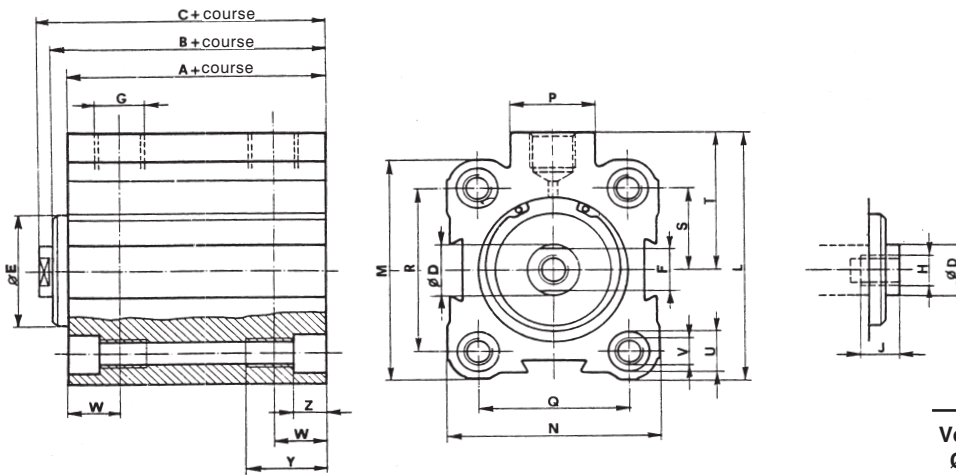


Vérin double effet série W 100... / W 100...M

Vérin Ø 12



Vérin Ø 16 ÷ 100



Masse

Vér. Ø	Course 0 non magnétique kg	Course 0 magnétique kg	Augmentation par mm (g)
12	0,045	-	1,2
16	0,074	0,102	1,4
20	0,095	0,12	2
25	0,135	0,155	2,85
32	0,233	0,292	4,06
40	0,394	0,43	5,47
50	0,39	0,446	6,4
63	0,64	0,772	9,7
80	1,19	1,275	14,85
100	1,72	1,92	19,7

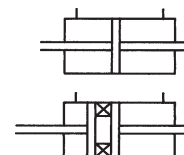
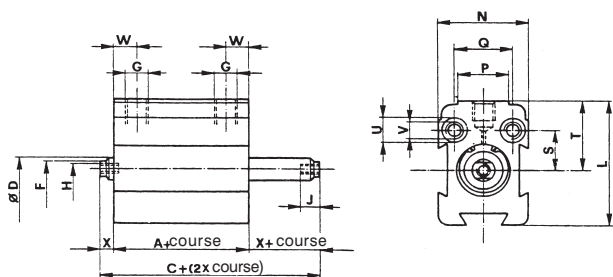
Vér. Ø	A	B	C	A*	B*	C*	D	E	F	G	H	J	L	M	N	P	Q	R	S	T	U	V		W	Y	Z
																						trou	filet			
12	32	-	35,5	-	-	-	6	-	5	M5	M3	6,5	28,5	-	20	11	13	-	9	16	6	3,7	M4	8,2	9	3,4
16	32	-	35,5	42	-	45,5	6	-	5	M5	M3	6,5	31	28	28	11	20	20	10	17	5,8	3,7	M4	6,5	9	3,4
20	35	-	42	45	-	52	10	-	8	M5	M5	10	35	32	32	11	22	22	11	19	7,5	4,6	M5	7	10	4,6
25	35	-	42	45	-	52	10	-	8	G 1/8	M5	10	44,5	39	37	18	26	28	14	25	7,5	4,6	M5	7,5	10	4,6
32	37	42	49	47	52	59	12	23	10	G 1/8	M6	12	54	48	45	18	32	36	18	30	8,5	5,55	M6	9	16	5,7
40	40	47	55	45	52	60	16	29,5	13	G 1/8	M8	14	60	54,5	54,5	18	40	40	20	33	8,5	5,55	M6	9,5	16	5,7
50	40	46,5	55	45	51,5	60	16	35,5	13	G 1/4	M8	14	72	64	64	22	50	50	25	40	10,5	7,4	M8	10	16	6,8
63	42	50,5	59	47	55,5	64	20	43	17	G 1/4	M10	15	88	80	80	22	62	62	31	48	13,5	9,3	M10	10	20	9
80	52	60	71,5	57	65	76,5	25	50	22	G 3/8	M12	20	110	100	100	26	82	82	41	60	13,5	9,3	M10	15	20	9
100	52	60	71,5	57	65	76,5	25	56	22	G 3/8	M12	20	134	124	124	26	103	103	51,5	72	16,5	11,2	M12	15	25	11

*Version magnétique



Vérin double effet, tige traversante série W 101.../ W 101...M

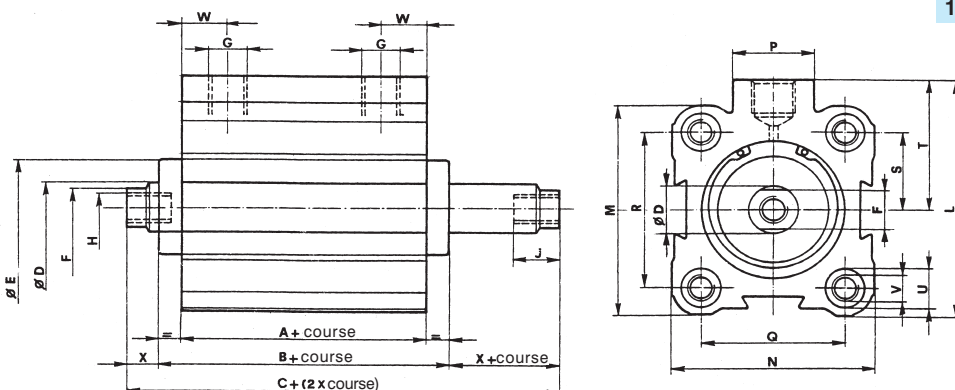
Vérin Ø 12



Masse

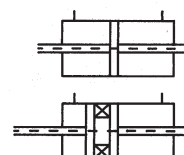
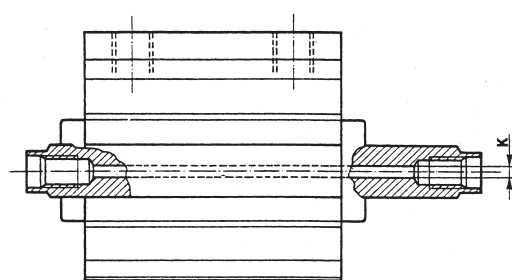
Vér. Ø	Course 0 non magnétique kg	Course 0 magnétique kg	Augmentation par mm (g)
12	0,055	-	1,4
16	0,086	0,114	1,6
20	0,112	0,137	2,65
25	0,165	0,185	3,5
32	0,295	0,354	5
40	0,5	0,536	7
50	0,478	0,534	8
63	0,79	0,922	12,2
80	1,345	1,43	18,7
100	1,875	2,075	23,6

Vérin Ø 16 ÷ 100



Vérin double effet, tige traversante creuse série W 131.../W 131...M

(du Ø 20 ÷ 100 mm)



Vér. Ø	12	16	20	25	32	40	50	63	80	100
K	-	-	2,5	2,5	3	4	4	6	6	6

En ce qui concerne le poids, voir tableau ci-dessus

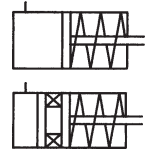
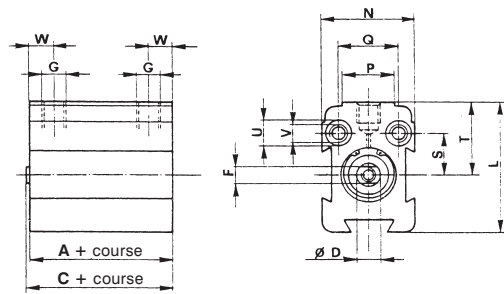
Vér. Ø	A	B	C	A*	B*	C*	D	E	F	G	H	J	L	M	N	P	Q	R	S	T	U	V		W	X	Y	Z
																						trou	filet				
12	37	-	44	-	-	-	6	-	5	M5	M3	6,5	28,5	-	20	11	13	-	9	16	6	3,7	M4	8,2	3,5	9	3,4
16	37	-	44	47	-	54	6	-	5	M5	M3	6,5	31	28	28	11	20	20	10	17	5,8	3,7	M4	6,5	3,5	9	3,4
20	40	-	54	50	-	64	10	-	8	M5	M5	10	35	32	32	11	22	22	11	19	7,5	4,6	M5	7	7	10	4,6
25	40	-	54	50	-	64	10	-	8	G 1/8	M5	10	44,5	39	37	18	26	28	14	25	7,5	4,6	M5	7,5	7	10	4,6
32	42	52	66	52	62	76	12	23	10	G 1/8	M6	12	54	48	45	18	32	36	18	30	8,5	5,55	M6	9	7	16	5,7
40	45	59	75	50	64	80	16	29,5	13	G 1/8	M8	14	60	54,5	54,5	18	40	40	20	33	8,5	5,55	M6	9,5	8	16	5,7
50	45	58	75	50	63	80	16	35,5	13	G 1/4	M8	14	72	64	64	22	50	50	25	40	10,5	7,4	M8	10	8,5	16	6,8
63	47	64	81	52	69	86	20	43	17	G 1/4	M10	15	88	80	80	22	62	62	31	48	13,5	9,3	M10	10	8,5	20	9
80	52	68	91	57	73	96	25	50	22	G 3/8	M12	20	110	100	100	26	82	82	41	60	13,5	9,3	M10	15	11,5	20	9
100	52	68	91	57	73	96	25	56	22	G 3/8	M12	20	134	124	124	26	103	103	51,5	72	16,5	11,2	M12	15	11,5	25	11

* Version magnétique

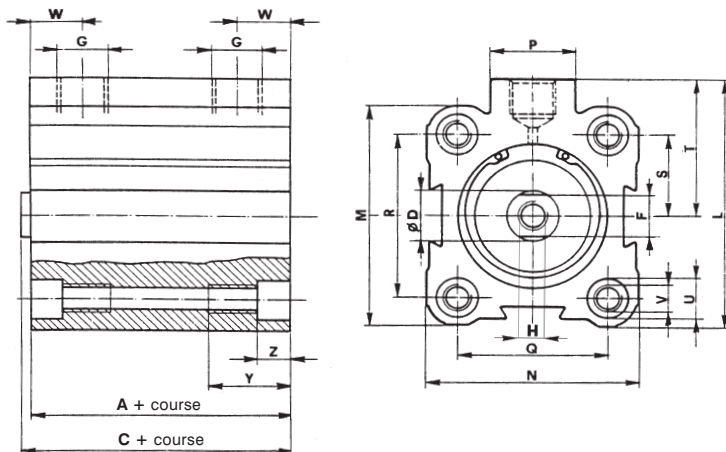


Vérin simple effet, tige rentrée série W 160.../...W 160...M

Vérin Ø 12



Vérin Ø 16 ÷ 100



Masse

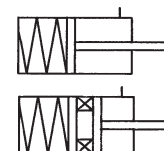
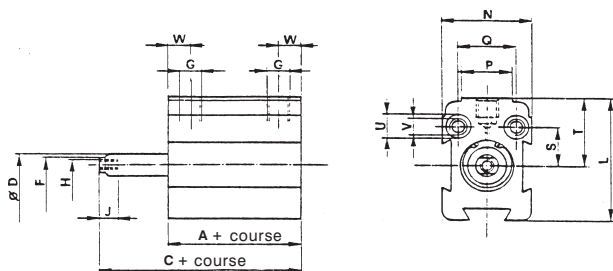
Vér. Ø	Course 0 non magnétique kg	Course 0 magnétique kg	Augmentation par mm (g)
12	0,038	-	1,2
16	0,059	0,079	1,4
20	0,07	0,095	2
25	0,096	0,116	2,85
32	0,194	0,253	4,06
40	0,326	0,362	5,47
50	0,322	0,378	6,4
63	0,533	0,715	9,7
80	1,02	1,105	14,85
100	1,49	1,69	19,7

Vér. Ø	A C A* C*				D	F	G	H	J	L	M	N	P	Q	R	S	T	U	V		W	Y	Z
	+ Course																		trou	filet			
12	27	28	-	-	6	5	M5	M3	6,5	28,5	-	20	11	13	-	9	16	6	3,7	M4	8,2	9	3,4
16	22	23	37	38	6	5	M5	M3	6,5	31	28	28	11	20	20	10	17	5,8	3,7	M4	6,5	9	3,4
20	25	26	40	41	10	8	M5	M5	10	35	32	32	11	22	22	11	19	7,5	4,6	M5	7	10	4,6
25	25	26	40	41	10	8	G 1/8	M5	10	44,5	39	37	18	26	28	14	25	7,5	4,6	M5	7,5	10	4,6
32	32	33	47	48	12	10	G 1/8	M6	12	54	48	45	18	32	36	18	30	8,5	5,55	M6	9	16	5,7
40	35	36	45	46	16	13	G 1/8	M8	14	60	54,5	54,5	18	40	40	20	33	8,5	5,55	M6	9,5	16	5,7
50	35	36	45	46	16	13	G 1/4	M8	14	72	64	64	22	50	50	25	40	10,5	7,4	M8	10	16	6,8
63	37	39	47	49	20	17	G 1/4	M10	15	88	80	80	22	62	62	31	48	13,5	9,3	M10	10	20	9
80	47	53	57	63	25	22	G 3/8	M12	20	110	100	100	26	82	82	41	60	13,5	9,3	M10	15	20	9
100	47	53	57	63	25	22	G 3/8	M12	20	134	124	124	26	103	103	51,5	72	16,5	11,2	M12	15	25	11

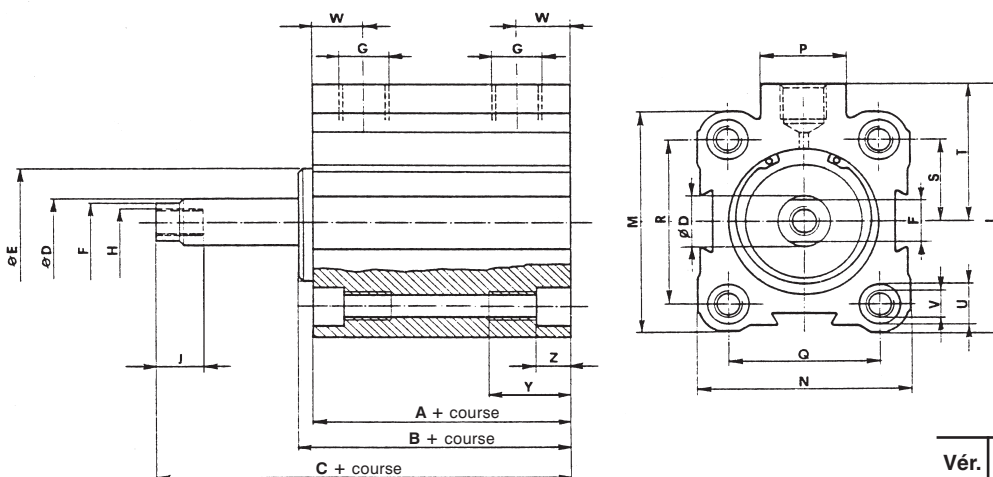
* Version magnétique

Vérin simple effet, tige sortie série W 170.../ W 170...M

Vérin Ø 12



Vérin Ø 16 ÷ 100



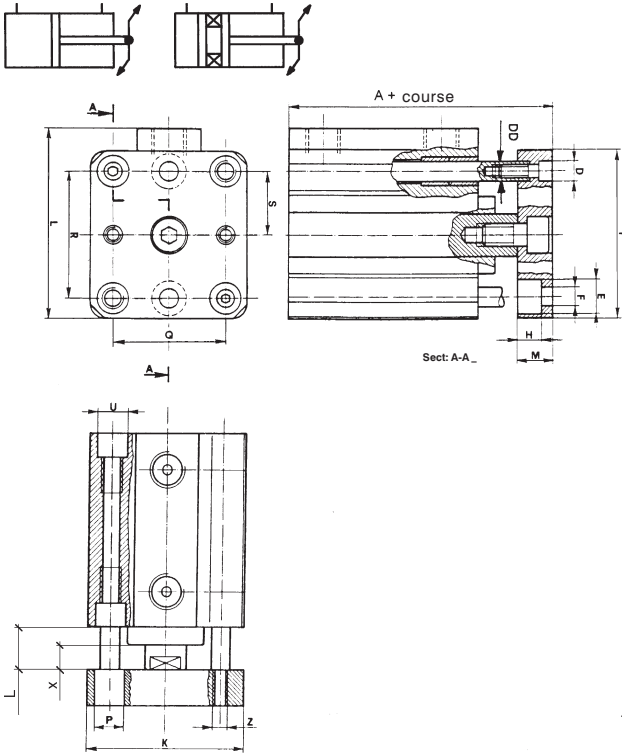
Masse

Vér. Ø	Course 0 non magnétique kg	Course 0 magnétique kg	Augmentation par mm (g)
12	0,045	-	1,2
16	0,7	0,098	1,4
20	0,86	0,111	2
25	0,122	0,142	2,85
32	0,212	0,271	4,06
40	0,366	0,402	5,47
50	0,352	0,408	6,4
63	0,59	0,772	9,7
80	1,104	1,189	14,85
100	1,576	1,776	19,7

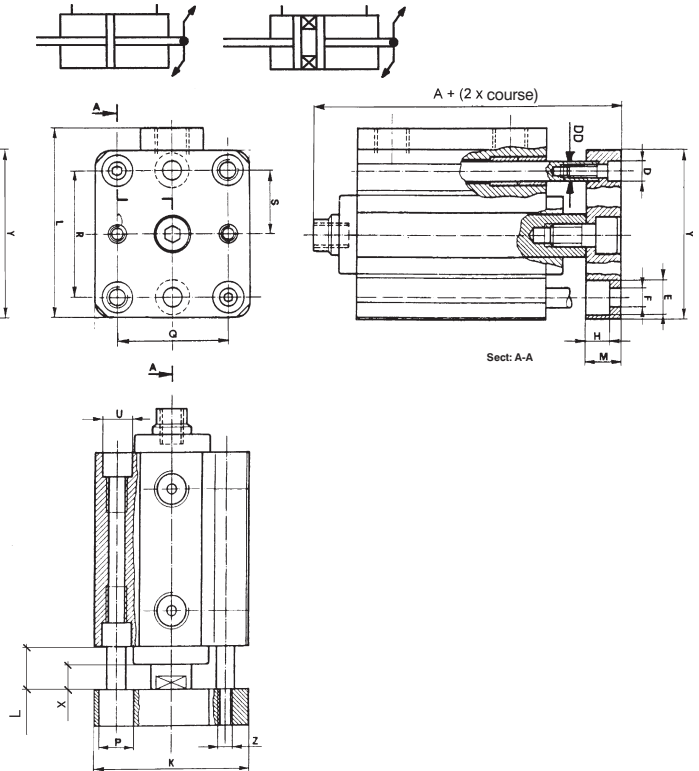
Vér. Ø	A	B	C	A*	B*	C*	D	E	F	G	H	J	L	M	N	P	Q	R	S	T	U	V		W	Y	Z
	+ COURSE																					trou	filet			
12	32	-	35,5	-	-	-	6	-	5	M5	M3	6,5	28,5	-	20	11	13	-	9	16	6	3,7	M4	8,2	9	3,4
16	27	-	30,5	42	-	4,5	6	-	5	M5	M3	6,5	31	28	28	11	20	20	10	17	5,8	3,7	M4	6,5	9	3,4
20	30	-	37	45	-	52	10	-	8	M5	M5	10	35	32	32	11	22	22	11	19	7,5	4,6	M5	7	10	4,6
25	30	-	37	45	-	52	10	-	8	G 1/8	M5	10	44,5	39	37	18	26	28	14	25	7,5	4,6	M5	7,5	10	4,6
32	32	37	44	47	52	59	12	23	10	G 1/8	M6	12	54	48	45	18	32	36	18	30	8,5	5,55	M6	9	16	5,7
40	35	42	50	45	52	60	16	29,5	13	G 1/8	M8	14	60	54,5	54,5	18	40	40	20	33	8,5	5,55	M6	9,5	16	5,7
50	35	41,5	50	45	51,5	60	16	35,5	13	G 1/4	M8	14	72	64	64	22	50	50	25	40	10,5	7,4	M8	10	16	6,8
63	37	45,5	54	47	55,5	64	20	43	17	G 1/4	M10	15	88	80	80	22	62	62	31	48	13,5	9,3	M10	10	20	9
80	47	55	66,5	57	65	76,5	25	50	22	G 3/8	M12	20	110	100	100	26	82	82	41	60	13,5	9,3	M10	15	20	9
100	47	55	66,5	57	65	76,5	25	56	22	G 3/8	M12	20	134	124	124	26	103	103	51,5	72	16,5	11,2	M12	15	25	11

* Version magnétique

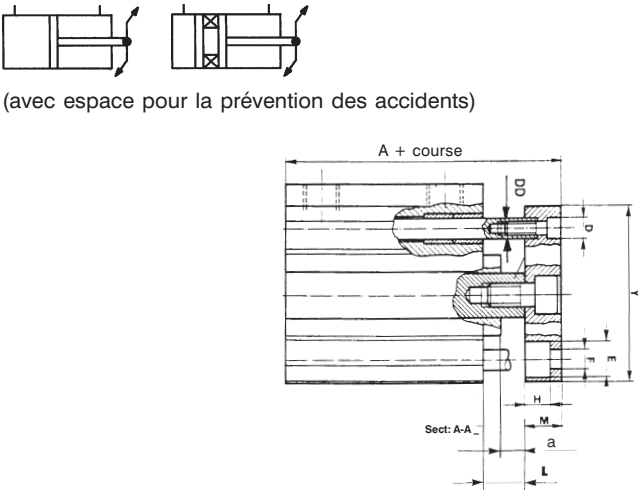
Tige avec guidage antirotation
Série W 110.../ W 110...M



Tige traversante avec guidage antirotation
Série W 111 .../ W 111...M

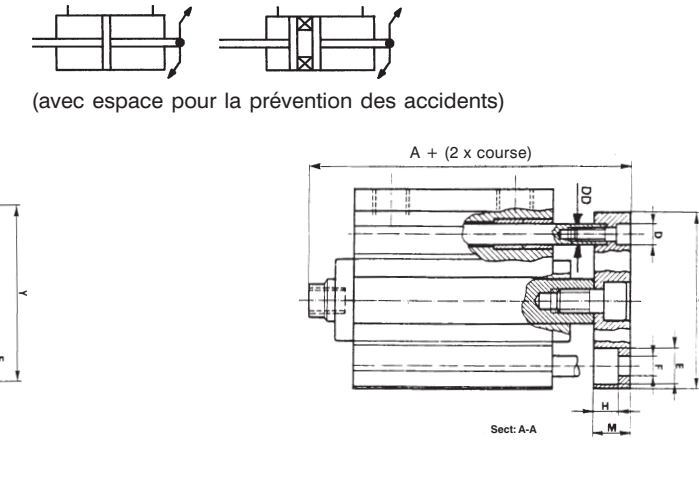


Tige avec guidage antirotation
Série W 110...S/ W 110...SM



(avec espace pour la prévention des accidents)

Tige traversante avec guidage antirotation
Série W 111...S/ W 111...SM



(avec espace pour la prévention des accidents)

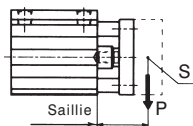
Masse

Vér. Ø	Course 0 non magnétique kg	Course 0 magnétique kg	Augmentation par mm (g)
16	0,104	0,132	1,8
20	0,15	0,175	3,1
25	0,214	0,234	3,95
32	0,392	0,452	5,8
40	0,651	0,686	8,2
50	0,688	0,744	9,2
63	1,11	1,242	14
80	1,905	1,99	21
100	2,785	2,985	26,7

Masse

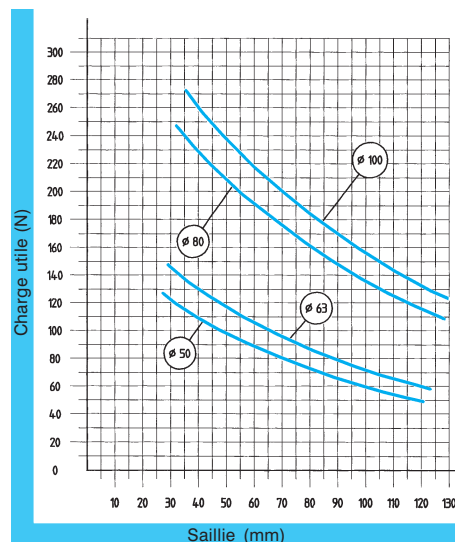
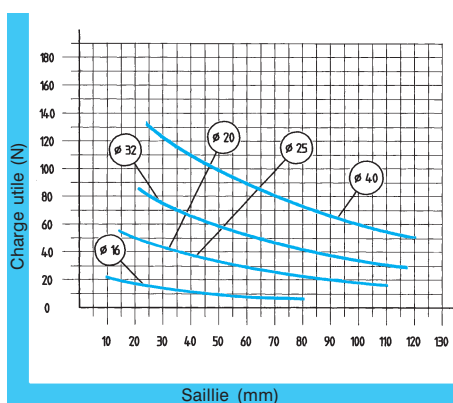
Vér. Ø	Course 0 non magnétique kg	Course 0 magnétique kg	Augmentation par mm (g)
16	0,104	0,132	1,8
20	0,15	0,175	3,1
25	0,214	0,234	3,95
32	0,392	0,452	5,8
40	0,651	0,686	8,2
50	0,688	0,744	9,2
63	1,11	1,242	14
80	1,905	1,99	21
100	2,785	2,985	26,7

Diagramme charge utile en fonction de la saillie



S = centre de gravité de la charge utile

P = charge utile en Newton

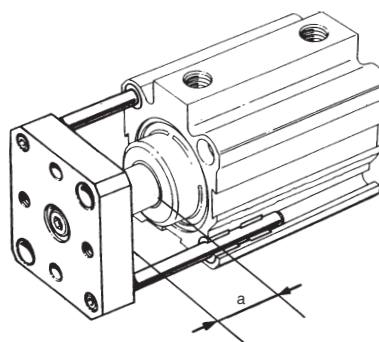


Cotes d'encombrement vérins avec tige antirotation

Vér. Ø	X	L	W110 A + course	W111 A + (2 x course)	W110M A* + course	W111M A* + (2 x course)	D	DD	E	F	H	K	M	P	Q	R	S	Y	Z
16	3,5	3,5	42,5	51	52,5	61	6	4	6	3,5	3,5	27,5	7	6	20	20	10	27,5	M3
20	7	7	50	62	60	72	7,5	6	7,5	4,5	4,5	31,5	8	7,5	22	22	11	31,5	M4
25	7	7	50	62	60	72	7,5	6	7,5	4,5	5	36	8	7,5	26	28	14	38	M4
32	7	12	59	76	69	86	9	8	10	5,5	6	44,5	10	10	32	36	18	47,5	M4
40	8	15	65	85	70	90	10,5	10	10	5,5	6	53,5	10	10	40	40	20	53,5	M5
50	8,5	15	67	87	72	92	10,5	10	11	6,5	7	63,5	12	11	50	50	25	63,5	M6
63	8,5	17	71	93	76	98	13,5	12	14	9	9	79,5	12	15	62	62	31	79,5	M6
80	11,5	19,5	85,5	105	90,5	110	13,5	14	14	9	9	99,5	14	15	82	82	41	99,5	M8
100	11,5	19,5	87,5	107	92,5	112	16,5	16	16,5	10,5	10,5	123,5	16	17	103	103	51,5	123,5	M8

*version magnétique

Options cotes d'encombrement se référant aux vérins avec tige antirotation et espace d'arrêt pour la prévention des accidents.

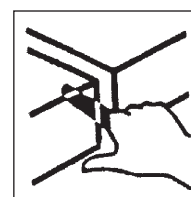


Espace d'arrêt pour la prévention des accidents, à savoir distance de sécurité qui doit être observée par l'utilisateur selon la norme EN 294.

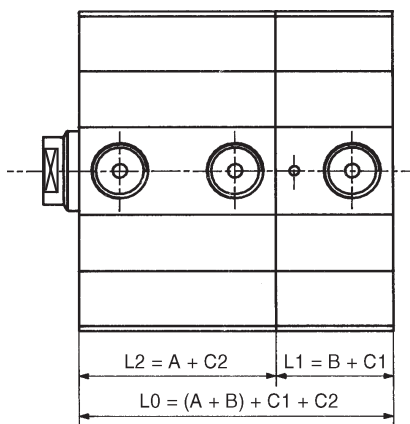
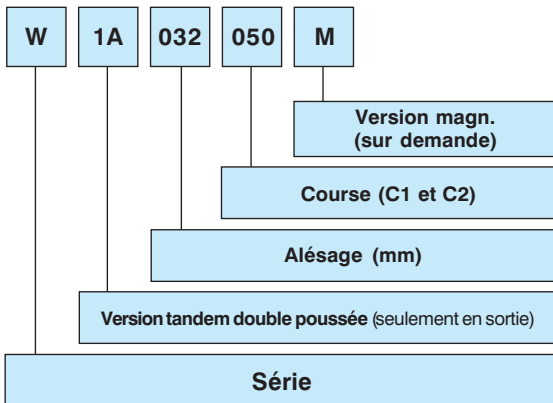
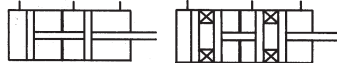
Vér. Ø	W110 A + course	W111 A + (2 x course)	W110M A* + course	W111M A* + (2 x course)	L	a
16	67,5	76	77,5	86	28,5	28,5
20	70	82	80	92	27	27
25	70	82	80	92	27	27
32	79	96	89	106	32	27
40	85	105	90	110	35	28
50	87	107	92	112	35	28,5
63	91	113	96	118	37	28,5
80	100,5	120	105,5	125	34,5	26,5
100	102,5	122	107,5	127	34,5	26,5

*version magnétique

Attention : pour toutes les dimensions manquantes voir les versions sans tige antirotation



Vérin tandem



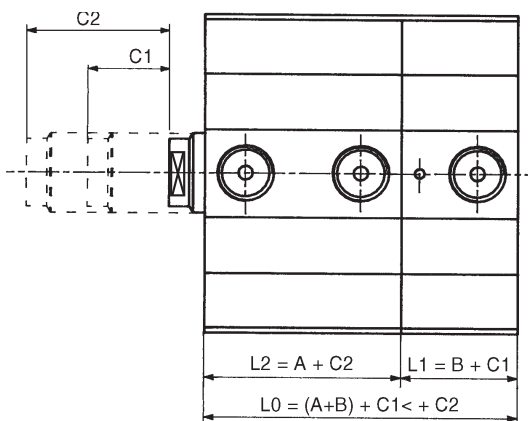
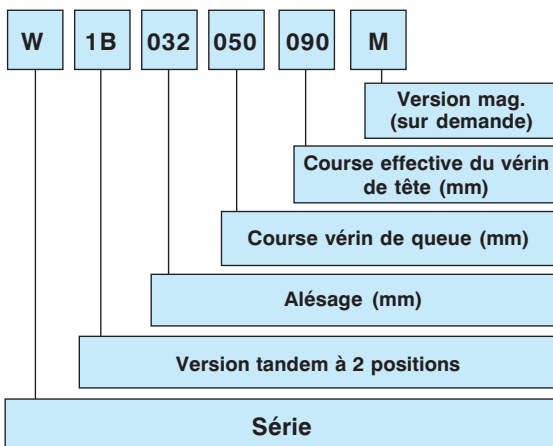
Tandem faible course « série W »

Vér. Ø	L2 = A + C2	L1 = B + C1	L0 = (A+B) + C1 + C2
16	L2 = 37 + C2	L1 = 22 + C1	L0 = 59 + C1 + C2
20	L2 = 40 + C2	L1 = 25 + C1	L0 = 65 + C1 + C2
25	L2 = 40 + C2	L1 = 25 + C1	L0 = 65 + C1 + C2
32	L2 = 42 + C2	L1 = 23 + C1	L0 = 65 + C1 + C2
40	L2 = 45 + C2	L1 = 26,5 + C1	L0 = 71,5 + C1 + C2
50	L2 = 45 + C2	L1 = 26 + C1	L0 = 71 + C1 + C2
63	L2 = 47 + C2	L1 = 29 + C1	L0 = 76 + C1 + C2
80	L2 = 52 + C2	L1 = 38 + C1	L0 = 90 + C1 + C2
100	L2 = 52 + C2	L1 = 38 + C1	L0 = 90 + C1 + C2

Tandem faible course « série W » magnétique

Vér. Ø	L2 = A + C2	L1 = B + C1	L0 = (A+B) + C1 + C2
16	L2 = 47 + C2	L1 = 37 + C1	L0 = 84 + C1 + C2
20	L2 = 50 + C2	L1 = 40 + C1	L0 = 90 + C1 + C2
25	L2 = 50 + C2	L1 = 40 + C1	L0 = 90 + C1 + C2
32	L2 = 52 + C2	L1 = 38 + C1	L0 = 90 + C1 + C2
40	L2 = 50 + C2	L1 = 36,5 + C1	L0 = 86,5 + C1 + C2
50	L2 = 50 + C2	L1 = 36 + C1	L0 = 86 + C1 + C2
63	L2 = 52 + C2	L1 = 39 + C1	L0 = 91 + C1 + C2
80	L2 = 57 + C2	L1 = 48 + C1	L0 = 105 + C1 + C2
100	L2 = 57 + C2	L1 = 48 + C1	L0 = 105 + C1 + C2

Vérin tandem à deux positions



La course C1 est toujours inférieure à la course C2.

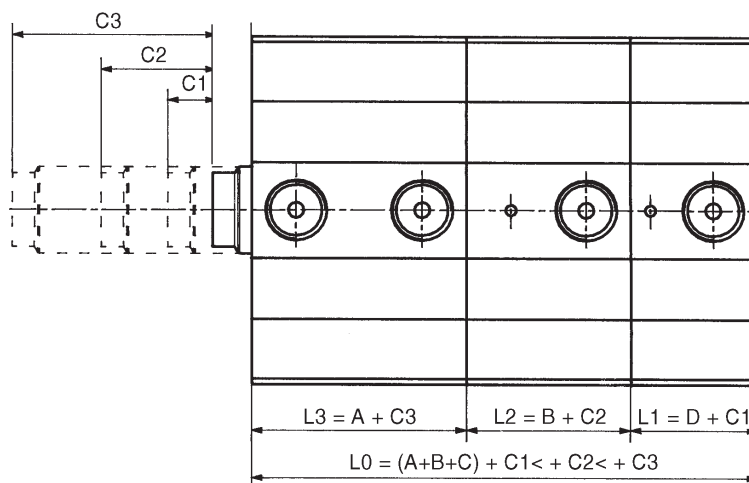
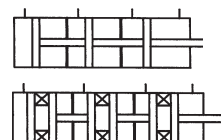
Tandem faible course à deux positions "Série W"

Vér. Ø	L2 = A + C2	L1 = B + C1	L0 = (A+B) + C1 + C2
16	L2 = 37 + C2	L1 = 22 + C1	L0 = 59 + C1 + C2
20	L2 = 40 + C2	L1 = 25 + C1	L0 = 65 + C1 + C2
25	L2 = 40 + C2	L1 = 25 + C1	L0 = 65 + C1 + C2
32	L2 = 42 + C2	L1 = 23 + C1	L0 = 65 + C1 + C2
40	L2 = 45 + C2	L1 = 26,5 + C1	L0 = 71,5 + C1 + C2
50	L2 = 45 + C2	L1 = 26 + C1	L0 = 71 + C1 + C2
63	L2 = 47 + C2	L1 = 29 + C1	L0 = 76 + C1 + C2
80	L2 = 52 + C2	L1 = 38 + C1	L0 = 90 + C1 + C2
100	L2 = 52 + C2	L1 = 38 + C1	L0 = 90 + C1 + C2

Tandem faible course à deux positions « série W » magnétique

Vér. Ø	L2 = A + C2	L1 = B + C1	L0 = (A+B) + C1 + C2
16	L2 = 47 + C2	L1 = 37 + C1	L0 = 84 + C1 + C2
20	L2 = 50 + C2	L1 = 40 + C1	L0 = 90 + C1 + C2
25	L2 = 50 + C2	L1 = 40 + C1	L0 = 90 + C1 + C2
32	L2 = 52 + C2	L1 = 38 + C1	L0 = 90 + C1 + C2
40	L2 = 50 + C2	L1 = 36,5 + C1	L0 = 86,5 + C1 + C2
50	L2 = 50 + C2	L1 = 36 + C1	L0 = 87 + C1 + C2
63	L2 = 52 + C2	L1 = 39 + C1	L0 = 91 + C1 + C2
80	L2 = 57 + C2	L1 = 48 + C1	L0 = 105 + C1 + C2
100	L2 = 57 + C2	L1 = 48 + C1	L0 = 105 + C1 + C2

Vérin à plus positions WS (référence selon dessin)



Tandem faible course à plus positions « série W »

Vér. Ø	$L3 = A + C3$	$L2 = B + C2$	$L1 = D + C1$	$L0 = (A+B+D) + C1< + C2< + C3$
16	$L3 = 37 + C3$	$L2 = 27 + C2$	$L1 = 22 + C1$	$L0 = 86 + C1< + C2< + C3$
20	$L3 = 40 + C3$	$L2 = 30 + C2$	$L1 = 25 + C1$	$L0 = 95 + C1< + C2< + C3$
25	$L3 = 40 + C3$	$L2 = 30 + C2$	$L1 = 25 + C1$	$L0 = 95 + C1< + C2< + C3$
32	$L3 = 42 + C3$	$L2 = 28 + C2$	$L1 = 23 + C1$	$L0 = 93 + C1< + C2< + C3$
40	$L3 = 45 + C3$	$L2 = 31,5 + C2$	$L1 = 26,5 + C1$	$L0 = 103 + C1< + C2< + C3$
50	$L3 = 45 + C3$	$L2 = 31 + C2$	$L1 = 26 + C1$	$L0 = 102 + C1< + C2< + C3$
63	$L3 = 47 + C3$	$L2 = 36 + C2$	$L1 = 29 + C1$	$L0 = 112 + C1< + C2< + C3$
80	$L3 = 52 + C3$	$L2 = 38 + C2$	$L1 = 38 + C1$	$L0 = 128 + C1< + C2< + C3$
100	$L3 = 52 + C3$	$L2 = 38 + C2$	$L1 = 38 + C1$	$L0 = 128 + C1< + C2< + C3$

Tandem faible course à plus positions « série W » magnétique

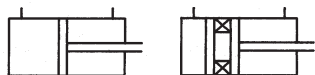
Vér. Ø	$L3 = A + C3$	$L2 = B + C2$	$L1 = D + C1$	$L0 = (A+B+D) + C1< + C2< + C3$
16	$L3 = 47 + C3$	$L2 = 42 + C2$	$L1 = 37 + C1$	$L0 = 126 + C1< + C2< + C3$
20	$L3 = 50 + C3$	$L2 = 45 + C2$	$L1 = 40 + C1$	$L0 = 135 + C1< + C2< + C3$
25	$L3 = 50 + C3$	$L2 = 45 + C2$	$L1 = 40 + C1$	$L0 = 135 + C1< + C2< + C3$
32	$L3 = 52 + C3$	$L2 = 43 + C2$	$L1 = 38 + C1$	$L0 = 133 + C1< + C2< + C3$
40	$L3 = 50 + C3$	$L2 = 41,5 + C2$	$L1 = 36,5 + C1$	$L0 = 128 + C1< + C2< + C3$
50	$L3 = 50 + C3$	$L2 = 41 + C2$	$L1 = 36 + C1$	$L0 = 127 + C1< + C2< + C3$
63	$L3 = 52 + C3$	$L2 = 44 + C2$	$L1 = 39 + C1$	$L0 = 135 + C1< + C2< + C3$
80	$L3 = 57 + C3$	$L2 = 48 + C2$	$L1 = 48 + C1$	$L0 = 153 + C1< + C2< + C3$
100	$L3 = 57 + C3$	$L2 = 48 + C2$	$L1 = 48 + C1$	$L0 = 153 + C1< + C2< + C3$

Attention : possibilité de fournir version avec tige antirotation
 Pour les dimensions manquantes voir série W 100... page 57.

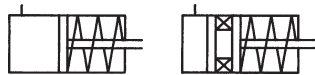


Articulation arrière mâle

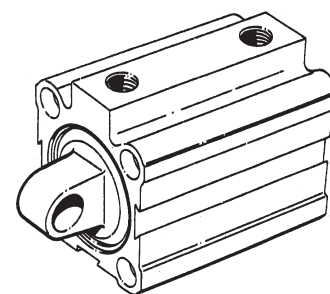
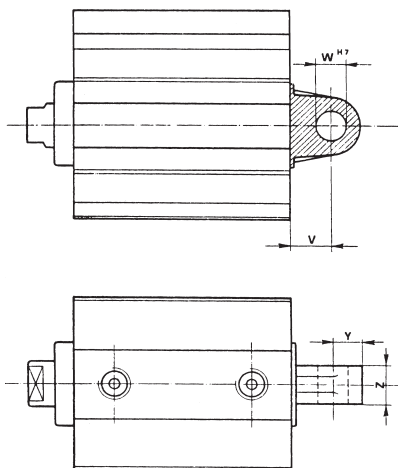
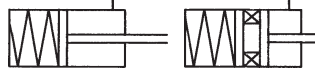
Série W 700 ... / W 700 ... M



Série W 760 ... / W 760 ... M



Série W 770 ... / W 770 ... M

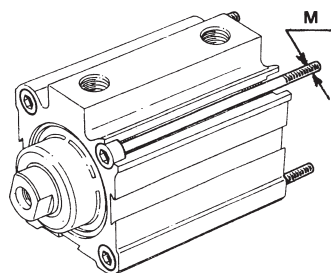


Masse

Vér. Ø	W700.../W700...M			W760.../W760...M			W770.../W770...M		
	Course 0 non magnétique kg	Course 0 magnétique kg	Augment. par mm (g)	Course 0 non magnétique kg	Course 0 magnétique kg	Augment. par mm (g)	Course 0 non magnétique kg	Course 0 magnétique kg	Augment. par mm (g)
12	-	-	-	-	-	-	-	-	-
16	0,082	0,11	1,4	0,067	0,087	1,4	0,078	0,106	1,4
20	0,1075	0,1325	2	0,0825	0,0975	2	0,0985	0,1235	2
25	0,1585	0,1785	2,85	0,119	0,139	2,85	0,145	0,165	2,85
32	0,2765	0,3355	4,06	0,2375	0,2965	4,06	0,2555	0,3155	4,06
40	0,4705	0,5065	5,47	0,4025	0,4385	5,47	0,442	0,4785	5,47
50	0,417	0,473	6,4	0,349	0,405	6,4	0,379	0,435	6,4
63	0,6815	0,8135	9,7	0,5745	0,7565	9,7	0,6315	0,9135	9,7
80	1,2385	1,3235	14,85	1,0685	1,1535	14,85	1,1525	1,2375	14,85
100	1,775	1,975	19,7	1,545	1,745	19,7	1,631	1,831	19,7

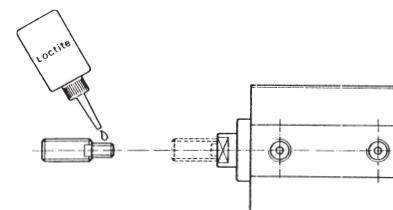
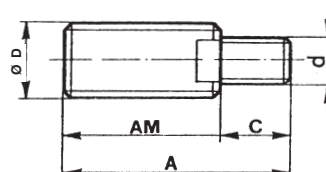
Vér. Ø	Y	Z	Ø W	V
12	-	-	-	-
16	5,5	9	6	6,2
20	5,5	9	6	6,5
25	6	12	6	8
32	9	14	10	11
40	10	16	12	13
50	12	17	12	16,5
63	14	21	16	18
80	14	21	16	16,5
100	17	25	20	21

Vis de fixation



Vér. Ø	12	16*	2
M	3	3	4

Mamelon



Vér. Ø	A	AM	C	D	d	Code
12-16	22,5	16	6,5	6 x 1	M 3	WF-50012
20-25	30	20	10	8 x 1,25	M 5	WF-50020
32	34	22	12	10 x 1,25	M 6	WF-50032
40	38	24	14	12 x 1,25	M 8	WF-50040
50	46	32	14	16 x 1,5	M 8	WF-50050
63	47	32	15	16 x 1,5	M 10	WF-50063
80-100	60	40	20	20 x 1,5	M 12	WF-50080

* seulement pour le diamètre 16 en version magnétique, les vis de fixation doivent être amagnétiques.